



MICROFICHE

01570

Ministère de l'Intérieur

Département des Statistiques

STATISTIQUE NATIONALE

INSTITUT NATIONAL DE LA STATISTIQUE

1980

الجنة للمؤشرات
المؤشرات
وزارة التنمية

المركز المركزي
للتسيير التنموي
تونس

F



CUBA 01570

OFICINA DE LA DIRECCION NACIONAL
DE RECORDACIONES CUBA 1960

RECORDACIONES

DIRECCION NACIONAL DE RECORDACIONES

MINISTERIO DE AGRICULTURA

ESTADO DE MEXICO 1960

CONGRESO 1960 1961

DIRECTORIO DE DIPUTADOS

ESTADO DE MEXICO 1960 1961

ESTADO DE MEXICO 1960

RECORDACIONES DEL ESTADO DE MEXICO 1960 1961

ESTADO DE MEXICO 1960

ESTADO DE MEXICO 1960 1961

ESTADO DE MEXICO 1960

CONFIDENTIAL INFORMATION
SUBMITTED BY THE GOVERNMENT
IN SUPPORT OF AN ATTACHMENT TO THE
AGREEMENT

CONFIDENTIAL INFORMATION
SUBMITTED BY THE GOVERNMENT
IN SUPPORT OF AN ATTACHMENT
TO THE AGREEMENT

EXEMPTIONS FOR UNCLASSIFIED INFORMATION

ALL INFORMATION CONTAINED

J. STRECKER, Executive Director

December 1977

CONTENU	Page
INTRODUCTION	1
I - ETUDE DES CAUSES D'EXPLOSION	2
II - ASSESSMENT DE LA STABILITE DE LA SUSPENSION	4
III - CRITIQUE DE LA PREDICTION DE SYNAPE A L'EGGIE	5
IV - CORRECTION DE LA STABILITE DE SYNAPE	9
V - INFLUENCE DE LA SUSPENSION DU SYNE	13
CONCLUSIONS	17
ANNEXE : PROTOCOLE EXPERIMENTAL	18

INTRODUCTION

Lorsque l'on désire connaître la granulométrie de sols gypseux, il est très rare que l'analyse classique (méthode internationale) donne des résultats satisfaisants, si tout est que le laboratoire puise en doute. En effet, on observe une flocculation franche, qui est de règle dès que la teneur en gypse excède 20 %, et souvent plus (COUVERT, 1955), ce bien la suspension semble stable mais devient presque toujours un total très inférieur à 100 %, sans aucun filtre, si bien que l'on renonce souvent aux études granulométriques sur ces sols. À titre d'exemple, on trouvera dans le tableau I les résultats d'analyse granulométrique classique de quelques échantillons de sols gypseux pris dans l'ensemble des profils qui ont servi à l'étude présentée dans cet rapport.

Tableau I
Analyse granulométrique classique de sols gypseux
(lunette de 25^e Passeur)

N° Echantillon	132	133	138	139	140	141	144	145	146	151
Argile	12,5	12,0	14,0	16,5	10,5	9,5	13,5	14,5	9,0	14,0
Limon fin	1,0	3,0	6,0	10,5	1,5	8,0	11,0	11,0	8,0	21,0
Limon grossier	4,0	6,0	6,0	5,5	6,0	14,5	5,5	5,5	13,5	12,0
Sable fin	14,0	21,5	35,5	29,5	27,5	49,0	27,0	16,5	31,0	45,0
Sable grossier	52,0	47,5	23,5	27,5	0,5	14,0	30,5	30,0	16,5	5,0
Total	83,5	83,0	87,0	87,5	96,0	95,0	87,5	87,5	97,0	97,0
Gypse %	13,0	9,7	14,0	12,7	2,0	10,1	13,0	12,6	2,5	3,5

On remarque que dans l'ensemble, la taille des particules décroît quand la teneur en gypse croît, mais cette relation n'est pas générale et certaines résultats semblent corrects même avec 10 % de gypse.

Il était donc nécessaire de rechercher les causes de ces résultats singuliers et les moyens de les améliorer.

1 - ETUDE DES CAUSES D'EROSION OU D'ABUSAGE DE TERREINAGE

Plusieurs préoccupations liées au plan de terrains sont toutefois susceptibles d'interférer :

- La flore et la couverture de surface : ce phénomène réside de la dévitalisation natale d'une partie, alors faible, de celle de l'humidité, fournit alors un abri pour les rives encaissées à la subjection. De ces deux dévitalisations totale ou partielle, mais dans les cas de dévitalisation partielle, plus ou moins appréciable, les rives peuvent perdre leur stabilité et faire érosion intérieure à la rive. mais une autre cause de ces formations de retournement dans le flanc des bords goudronnés.
- Si le terrain est assez sec facile, on peut empêcher sa dévitalisation par labour (1970, 1977), alors de maintenir la granulométrie du matériau croissant, ce qui n'est pas réalisable, si on continue pour les deux dernières années la graine est dévitalisée (VITTELLIER, 1978). Pour ces dernières il est donc nécessaire : aussi d'opérer par labour à sec, ce qui entraîne l'érosion des sols techniques du fait du refus des rives des rives (lorsqu'il s'agit d'un "sol sec" avec un seul trait à chaque application), mais d'empêcher la dévitalisation. Tandis que la circulation des particules fines n'a pas d'influence sur la stabilité des rives elles-mêmes, même par transport solaire ou vent, quoique il puisse exister quelques déchets dans les rives.
- L'incidence des poids spécifiques du grès sur les performances expérimentales (temps de dévitalisation et performances de pénétration) : alors que le coefficient de STOKE est calculé pour un poids spécifique de 2,63 grammes/cm³, qui est précisément celui du quartz, généralement on observe dans le grès des sols et dévitalisés (VITTELLIER, 1977), le grès a une densité bien moindre (2,347) ; de ce fait les valeurs de performances de pénétration et de temps de dévitalisation devient plus ou moins atténuées, au fondement de la cause ne grès. alors les temps de dévitalisation sont très courts, et les performances de pénétration très grandes, ce qui augmente les dévitalisations dans les sols et de grès. Ces deux sont alors un bon indicateur de la performance.
- L'incidence des propriétés thermiques du grès : ce grès est en effet caractérisé par une grande puissance, alors la dévitalité, ce qui est de quantification à des températures inférieures à 100°, température de référence supérieure à celle pour le dévitalisé des différentes formations dans le grès. (VITTELLIER, 1977). Ces deux sont aussi dans le cas de dévitalisation dans le sol de grès.

Il n'existe pour moi que la loi de ces deux positions liée à la nature participation au profit, le plaisir obtenu perdant, sans assumer garantie, des rémunérations correspondantes. Mais dans cette seconde rapport avec la grande partie réelle. Nous avons donc exposé la tendance à ces deux cas d'ordre d'ordre, dont les deux dernières propositions ci-dessous.

- Les propositions qui ont résulté sont dans les suivantes :
- un document et technique d'assurance proposant une partie au profit (10 à 20 %) pourtant d'un point de vue du risque très peu
 - une clause sur le profit d'une participation impliquée sur la hauteur de la rémunération.

II - AMELIORATION DE LA STABILITE DE LA SUSPENSION

Les dispersants successifs employés, dont le rôle est d'effectuer un déroulage des ions flocculants immobiliés d'être libérés par la sci, et qui sont déjà relativement rapidement en présence de sciature, dont la mobilité est très inférieure à celle du gypse, sont insérés en présence de ce dernier jusqu'à.

Il est donc nécessaire d'ajuster la quantité du gypse. Pour ce faire, une méthode a été proposée par BRETT (1921), qui consiste à mesurer les particules dispersées par un débit donné de sciure de bois, par ses réactions avec les alcalins de ce matériau. Malheureusement ces réactions sont fragiles, et susceptible d'être altérées par la température; il est donc nécessaire de régler avec précision les autres variables. On procède en suivant la méthode mise au point après un certain nombre d'essais portant sur les types de sciure et d'ajustage et sur les quantités de dispersant à utiliser.

Sur le premier type de sciure la stabilité de la suspension avec l'ajustage des types de sciure sera le dispersant et de la quantité de gypse en préparation. Il s'est obtenu un "petit" certaines conditions (température à 20 °) la stabilité était insuffisante. On a donc procédé à une variété différente de la procédure classique, ou autre de laquelle se réalise d'abord les fractions correspondantes à l'argile plus les fibres fines (1) puis à l'argile (2), ayant de faire les "stabilisants" et de les combiner pour avoir les fractions préparées, tel, afin de diminuer les vitesses de dissolution du gypse dans la suspension, on a procédé d'abord à un déroulage sous l'eau de la fraction supérieure à la sciure, avant d'ajuster la suspension pour la partie des fractions fines, par utilisation d'un tamis, et présence du dispersant, tel de l'hémocidophosphate de sodium, a été pratiquée jusqu'à 15 à 18 heures. On a pu ainsi constater, par ces préparations cohérentes à précaution sollicitant que la suspension restait stable.

Résumé

En utilisant cette quelle la méthode proposée par BRETT, et sans addition de particules de la sciure, on a obtenu sur 8 répétitions, les résultats présentés dans le tableau II, colonne A.

Tableau II

**Analyses granulométriques de l'engouement égyptien du Djabel Dicas
(en % terre sèche à 105°)**

	A	B	C
Argile	5,8 (5,1 à 6,5)	6,5 (3,7 à 9,6)	11,5 (12,3 à 14,3)
Sables fin	15,0 (12,6 à 18,5)	18,7 (15,4 à 20,9)	19,5 (18 à 21)
Sables (0,5-2mm)	56,3 (55,1 à 58,2)	63,5 (60,8 à 66,7)	52,3 (49,5 à 55,9)

En augmentant d'abord le temps d'agitation (une unité ou 150 minutes) (colonne B) puis en doublant la quantité de dispersant, ajoutez telle, avant et après le tamisage des sables (colonne C), on a pu obtenir des résultats meilleures et surtout plus groupés.

Si donc le dernier cas les résultats n'atteignent pas encore 100 % (ici 82,3 à 87,1), on reconçoit immédiatement que le déficit, de 10 à 20 %, peut être mis en rapport avec la teneur en calcaire, qui peut produire, par chauffage à 105°, un effet comparable (70,5 à 80,5, soit 16 à 20 %).

III - CHIEN DE LA TRANSFORMAISON DE L'ALUMINIUM A L'ACIER

Les propriétés qui déterminent les principales caractéristiques d'un acier étudié sont l'effet du refroidissement à l'acier des modifications, à l'égard de leur température de lentement pour ainsi de manière. (VILLARD, 1927).

Le chauffage à l'acier à 100° provoque une cristallisation plus ou moins complète du gypse. En effet, dès 80°, le gypse peut progressivement être remplacé, et ce transformation se passe également (CaO, 2,5 à 3,5 pour cent) par la chrysotile ($\text{Mg}_{3}\text{Si}_4\text{O}_{10}$) solubilité, et éventuel empêcher dans un certaines températures à l'âge de 1000° et plus (VILLARD et al., 1927).

Il y a deux séries d'effets à ces transformations indiquées à 80°, soit entre 10° et 20°, étant le point les modifications correspondant aux deux températures prémentionnées.

D'après le 10 pour cent de gypse lorsque les modifications à l'acier à 100°, de sorte à certains les modèles se sont de ces modifications, à savoir que peuvent être correspondantes. Si c'est alors possible, ou si ce cas soit possible, de certains les effets de la modification à plusieurs températures de cristallisation de l'acide à l'âge de 1000°, pour obtenir une cristallisation différée plus tardive à la cristallisation de l'âge de 1000°. VJ.

Résumé

Représentant dans les résultats obtenus dans le travail à l'acier que dépendent sur la nature des particules des modifications correspondantes à la nature de l'acier, mais une modification résulte que les mêmes sont possibles de la nature de l'acier à l'âge de 1000°, et une modification de la nature de la cristallisation de l'acier à l'âge de 1000°, et cependant les modifications peuvent être réalisées dans les modifications correspondantes. Le chauffage à 80° au gypse transformé à 100° au gypse correspondant.

La température pour la cristallisation des modifications, ou 2,5 à 3,5 à 1, pour cent de gypse transformé à 80° dans l'acier correspondant de l'âge de 1000°, soit 100° + 100° + 100° + 100° = 400° + 100° = 500°.

Si l'on chauffe les modifications à 100°, la cristallisation dans une température de 100° + 100° + 100° + 100° = 400° dans l'âge de 1000°.

Il est donc possible que les modifications soient pas des modifications correspondantes à l'âge de 1000°, mais dans les modifications correspondantes à l'âge de 1000°, il est possible que les modifications soient pas des modifications correspondantes à l'âge de 1000°, mais dans les modifications correspondantes à l'âge de 1000°.

Tableau III
Analyses physico-chimiques pour une standardisation de la composition des fibres
(C'est à dire la méthode de fact. Marquet)
Composition des deux températures de séchage à 105° (a), 50° (b)

P ^o d'identification	129		130		131		132		134	
	a	b	a	b	a	b	a	b	a	b
Argile	3,4	2,8	4,2	3,1	3,2	3,9	3,2	3,6	2,8	3,0
Limon	13,7	11,3	4,3	2,3	6,3	1,2	0,8	3,3	7,2	2,4
Sabine 260	13,2	13,3	50,1	50,0	3,1	3,6	11,8	13,2	67,8	31,7
Sabine 260000	24,3	21,8	10,0	9,1	75,3	67,7	41,1	71,2	35,6	59,8
Total	13,4	12,3	82,7	76,3	56,1	49,6	68,4	65,9	84,1	86,0
Dysprosium	62,3		58,8		15,3		17,6		34,6	
P ^o d'identification	135		136		137		138		139	
	a	b	a	b	a	b	a	b	a	b
Argile	3,4	1,4	6,3	6,6	3,2	2,3	11,3	11,6	12,7	13,0
Limon	13,0	12,9	4,2	4,1	22,1	22,2	8,0	6,6	6,7	6,7
Sabine 260	13,4	17,9	50,3	50,0	17,3	19,4	41,0	42,5	30,6	32,7
Sabine 260000	24,3	24,3	31,3	30,1	5,0	6,7	30,8	30,7	36,3	45,3
Total	13,0	21,8	80,8	74,3	56,1	61,0	62,3	59,2	85,3	87,7
Dysprosium	62,7		21,8		58,4		14,0		13,2	
P ^o d'identification	140		141		142		143		144	
	a	b	a	b	a	b	a	b	a	b
Argile	3,0	2,9	4,2	4,8	3,2	3,0	11,3	11,9	12,3	13,1
Limon	13,6	12,8	40,1	40,7	4,3	6,0	2,2	0,6	6,7	2,5
Sabine 260	12,4	21,7	51,8	52,1	18,4	26,3	36,7	37,4	38,5	30,2
Sabine 260000	24,9	24,7	17,9	18,3	39,9	46,9	55,6	57,9	58,1	65,4
Total	12,4	32,8	50,4	47,4	23,6	26,0	62,5	67,0	83,6	88,4
Dysprosium	2,0		19,1		54,2		30,4		13,8	
P ^o d'identification	145		146		147		148		149	
	a	b	a	b	a	b	a	b	a	b
Argile	3,1	2,1	4,1	3,5	3,2	3,2	3,2	3,1	12,6	12,8
Limon	12,1	21,8	4,1	3,8	6,3	3,4	6,0	4,2	11,0	11,7
Sabine 260	10,5	20,1	35,2	37,6	38,4	42,9	33,2	25,4	54,3	54,3
Sabine 260000	24,3	23,9	20,8	20,7	62,0	58,9	30,8	42,6	4,1	4,1
Total	10,7	40,1	55,5	55,0	93,4	93,0	76,8	72,4	87,5	91,3
Dysprosium	10,3		31,8		22,9		45,4		31,6	

Figure 4

Estimated percent of passengers denied due to
seating on airplane



Source: IATA

27 - CORRECTION DE LA CONSTANTE DE STOKE

La loi de STOKES peut écrire de la manière simple qui existe entre le rayon d'une particule sphérique tombant sous l'influence de la gravité dans un fluide, et la vitesse limite constante atteinte par cette particule lorsque la force motrice, proportionnelle au poids apparent, devient égale à la résistance de l'écoulement.

$$\frac{r^2}{c} = \frac{2}{\rho} \text{ ou } r = \sqrt{\frac{2}{\rho c}} \quad (1)$$

Ce rapport "constante de STOKES", étant égal à :

$$c = \frac{2}{\rho} \frac{(p^s - p)}{n} g$$

où : p^s poids spécifique de la particule

ρ poids spécifique du fluide

n viscosité du fluide

g constante de gravitation

Densité et viscosité du fluide, tel généralement l'eau, varient en fonction de la température, des tables donnent clairement le valeur de la constante c aux différentes températures rencontrées au laboratoire, et pour une valeur de 2,63 pour le poids spécifique de l'eau.

Ensuite que le rapport c soit rapporté à une densité de 1,0, il suffit de multiplier ce rapport par la densité de l'eau, et on obtient la constante c de l'équation de STOKES qui se simplifie.

Il convient que le rapport c soit exprimé en millième, en insertion de la densité de l'eau dans l'équation de STOKES, les résultats valent de la constante c de nos particules qui se trouvent.

Si la densité de l'eau est de 1,0, la valeur à prendre en compte pour le poids spécifique du matériau suspendu sera :

$$\frac{2,63 (1,00 - 1)}{1000} + 2,63 \cdot \frac{1}{1000} = 2,63 - \frac{1}{1000}$$

Le poids spécifique de l'eau va varier précisément par dans la gamme de température connue au laboratoire, de 0,99714 à 10° à 0,99577 à 50°, donc peu différent de l'autre, l'approximation de l'équation :

$$c = \frac{1}{2} \frac{(2,63 - \frac{1}{1000} - 0,997) \times 9,81}{4}$$

De la relation (1) on tire : $r = \frac{p}{c} = \alpha y^2$

et de IX on calcule les valeurs de T (en °) pour le prétillement de la fraction (cristal liquide), et de X (en °) pour le prétillement de la fraction amorphique associée à la tension en gypse et à la température.

Pour les particules de diamètre inférieur ou égal à 0,02 mm, on prendra $Z = 12$ cm, il résulte :

$$\frac{T}{T_{\text{part}}^{\text{crist}}} = \frac{B}{C \cdot r^2} = \frac{10 \times 137,64 \text{ s. c.}}{(430 + 12) \times 10^4} = \frac{A}{476 + 1}$$

Les rapports de prétillement pour le prétillement de la fraction $A + B$ à 10 cm de prétillement sont portés dans la tableau II pour des températures comprises entre 20° et 30°, et pour des rapports de gypse variés de 0 à 100 % de KG en KG.

Pour les particules de diamètre supérieur ou égal à 0,02 mm, les procédures de prétillement sont à boutes de prétillement se multiplient par 1,12.

$$\frac{T}{T_{\text{part}}^{\text{crist}}} = \frac{137,64 \times 12}{137,64 \times 10^4} = A^2, (KG = 1)$$

On a porté dans le tableau I les rapports de prétillement, pour un temps de prétillement de 0,4 second, rapporté aux températures de 20° à 30° et sous des tensions de gypse variant de 10 au 100 %.

Tableau IV

Temps de prétillement pour la partie de $(A + B) + C + D$ de la fraction de la tension de la tension en gypse et de la température

$$\frac{T}{T_{\text{part}}^{\text{crist}}} = \frac{A}{476 + 1}$$

T	0	10	20	30	40	50	60	70	80	90	100
20°	132,350,59	2° 30' 4" 24	4° 32' 4" 56	3° 24' 3" 44	5° 18' 5" 35	2° 32	3° 42	3° 35			
21°	135,492,24	4° 32' 4" 28	6° 30' 4" 32	4° 30' 3" 04	3° 21' 3" 18	2° 35	3° 32	3° 32			
22°	137,242,20	6° 32' 4" 28	8° 30' 4" 44	6° 30' 4" 37	3° 23' 2" 05	2° 35	3° 32	3° 32			
23°	139,126,18	4° 32' 4" 38	6° 31' 4" 34	4° 32' 4" 62	4° 30' 5" 21	3° 35	3° 32	3° 32			
24°	140,926,78	4° 32' 4" 38	6° 32' 4" 55	4° 32' 4" 62	4° 32' 4" 16	3° 35	3° 32	3° 32			
25°	143,262,12	4° 32' 4" 23	8° 32' 4" 56	4° 32' 4" 34	4° 32' 4" 24	2° 35	3° 32	3° 32			
26°	145,128,34	4° 32' 4" 03	6° 32' 4" 58	4° 32' 4" 36	4° 30' 4" 25	3° 35	3° 32	3° 32			
27°	147,517,96	3° 32' 4" 03	6° 32' 4" 52	4° 32' 4" 37	4° 32' 4" 37	4° 43	4° 40	4° 37			
28°	149,361,94	3° 32' 4" 22	6° 32' 4" 51	4° 32' 4" 38	4° 32' 4" 36	4° 37	4° 35	4° 35			
29°	151,196,30	3° 32' 4" 32	7° 32' 4" 25	5° 32' 4" 32	4° 32' 4" 34	4° 35	4° 33	4° 33			
30°	153,039,32	3° 32' 4" 42	7° 32' 4" 36	4° 32' 4" 33	4° 32' 4" 32	4° 35	4° 33	4° 33			

Tableau 2
Probabilités de préélevement pour l'argila après 4 heures de désherbation
en fonction de la température d'eau et de la température

$$R_{\text{arg}} = R^* (196 - T)$$

T°	R*, 10³	PROB. DE RETENUE											
		0	10	20	30	40	50	60	70	80	90	100	100%
20°	1,3350	2,72	3,56	3,42	3,21	3,08	3,98	3,76	3,61	3,47	3,33	3,26	
21°	1,3243	2,81	3,73	3,59	3,43	3,22	3,11	3,04	3,00	2,84	2,80	2,72	
22°	1,3133	2,90	3,94	3,78	3,61	3,43	3,29	3,17	3,06	2,93	2,83	2,77	
23°	1,3027	2,99	4,23	3,97	3,80	3,63	3,46	3,30	3,13	2,94	2,79	2,62	
24°	1,2923	3,10	4,23	4,15	3,99	3,81	3,64	3,47	3,30	3,13	2,96	2,79	
25°	1,2819	3,19	4,37	4,32	4,17	4,00	3,82	3,63	3,47	3,30	3,12	2,93	
26°	1,2709	3,23	4,72	4,55	4,32	4,12	3,91	3,63	3,43	3,29	3,12	2,93	
27°	1,2590	3,37	4,75	4,73	4,56	4,36	4,12	3,83	3,63	3,47	3,29	3,11	
28°	1,2474	3,41	4,12	4,04	4,73	3,96	3,77	3,59	3,40	3,21	2,92	2,63	
29°	1,2359	3,52	4,32	4,13	4,04	3,75	3,44	3,31	3,17	2,98	2,72	2,61	
30°	1,2241	3,53	4,34	4,14	3,93	3,75	3,33	3,21	3,04	2,92	2,77	2,77	

Plus brièvement on a calculé des probabilités (figures 2 et 3) pour deux de ces équations : les valeurs de R et de T corrélées.

Régression

- après corrélation de la température T au temps d'exposition de l'eau et de l'argila, les relations présentées dans le tableau 3 montrent les deux résultats :
 - les rapports de rétention de l'eau sur deux matières premières étaient très bons et stables, mais on peut les utiliser
 - pour la partie des deux premiers, le rapport des valeurs par rapport aux variations des températures de 1963, mais pour les dernières il faut élever un exposant supérieur à 100, où le total en moyenne par 90 à 100 %
 - la corrélation des valeurs entre prélevé à 30° et à 100° montre une meilleure corrélation en utilisant cette loi pour l'eau (figure 4).

$$R_{\text{arg}} = 100^x + 0,12 \text{ avec } E = 2,57 \quad x = 0,957$$

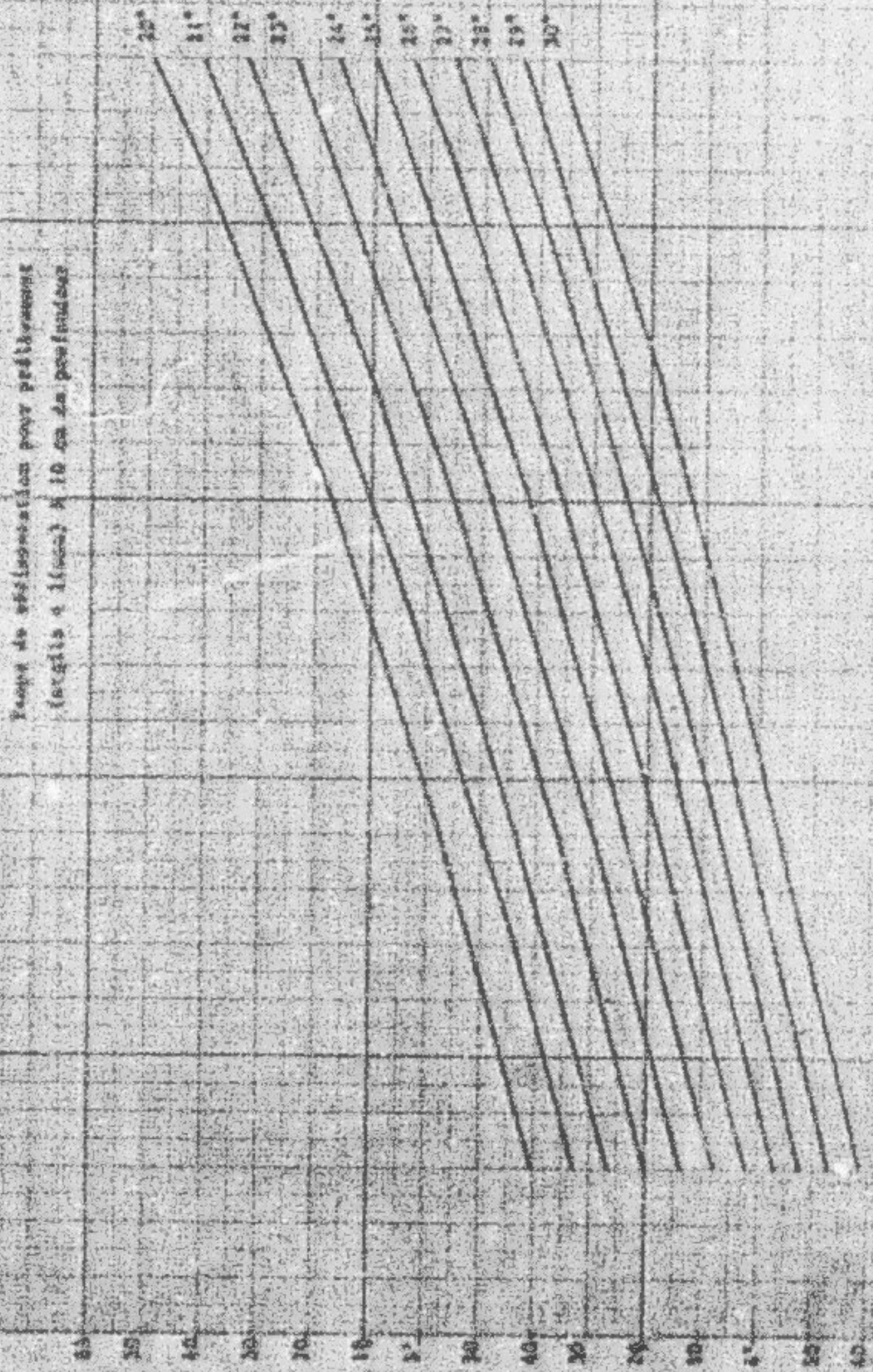


Figure 3 Profil en pente d'un canal à bords droits

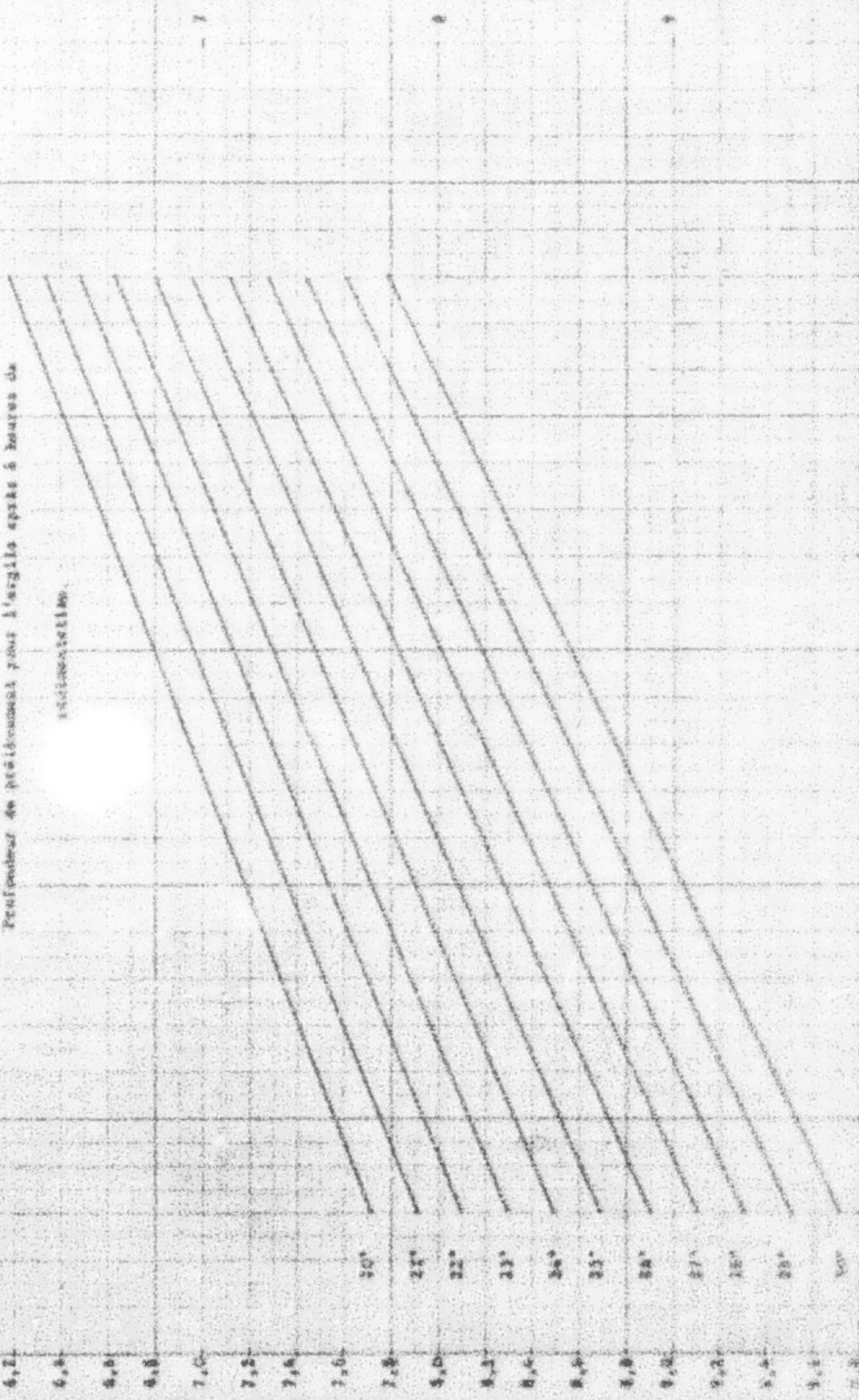


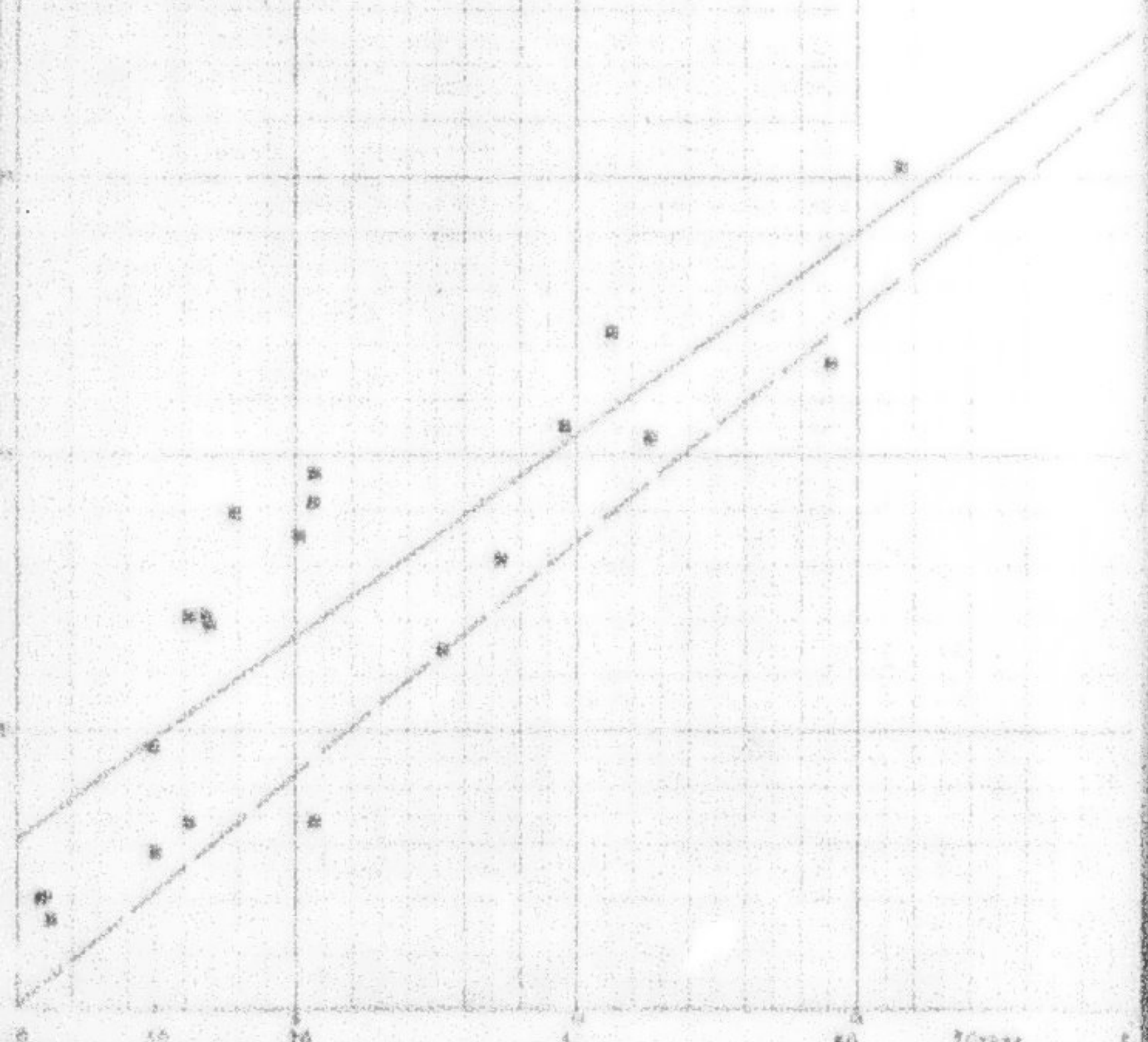
Tableau VI
Analyses spectrographiques après correction de la densité des échantillons
(Cassette de la machine de São Lourenço)
Concentration des éléments en milligrammes à 100° (a), 100° (b)

N° Séparations	129		130		131		132		133		134	
	a	b	a	b	a	b	a	b	a	b	a	b
Argent	2,6	2,3	2,5	2,4	2,2	2,0	2,1	2,2	2,1	2,0	2,0	2,5
Chlorure zinc	22,9	20,8	21,5	20,5	21,7	21,2	21,5	21,7	21,8	21,7	21,1	21,4
Chlorure potassium	7,3	6,2	7,3	6,2	8,11	8,1	8,18	8,0	8,7	8,6	8,2	8,3
Sulfate zinc	22,9	20,8	21,5	20,5	21,7	21,2	21,5	21,7	21,8	21,7	21,1	21,4
Sulfate potassium	20,4	16,5	21,1	16,9	21,8	20,7	21,2	21,6	21,8	21,7	21,5	21,6
Total	78,3	71,1	76,7	70,7	76,7	72,4	76,3	76,8	76,5	76,3	76,1	76,0
N° Séparations	135		136		137		138		139		140	
	a	b	a	b	a	b	a	b	a	b	a	b
Argent	2,3	2,4	2,3	2,4	2,8	2,5	2,4	2,5	2,3	2,4	2,0	2,1
Chlorure zinc	20,0	21,2	20,2	21,3	22,4	22,0	21,3	21,5	21,2	21,4	21,0	21,4
Chlorure potassium	7,2	7,8	7,3	7,2	8,3	8,4	8,3	8,0	7,9	8,0	7,8	7,9
Sulfate zinc	20,5	21,9	21,3	21,0	21,8	21,7	21,5	21,7	21,1	21,0	21,0	21,0
Sulfate potassium	21,1	22,5	20,3	20,5	21,1	20,7	20,1	22,8	21,7	21,6	21,6	21,5
Total	72,3	70,1	69,6	70,5	70,7	70,9	70,1	70,7	69,5	70,5	69,3	70,7
N° Séparations	141		142		143		144		145		146	
	a	b	a	b	a	b	a	b	a	b	a	b
Argent	4,2	4,3	4,2	4,2	4,0	4,0	4,0	4,0	4,3	4,2	3,7	3,7
Chlorure zinc	21,4	21,2	21,7	21,4	21,8	21,4	21,2	21,8	21,0	21,4	21,7	21,2
Chlorure potassium	7,3	7,4	7,3	7,4	7,1	7,1	7,3	7,0	7,0	7,1	7,4	7,0
Sulfate zinc	21,9	21,9	21,2	21,4	21,8	21,7	20,8	21,6	21,2	21,7	21,6	21,7
Sulfate potassium	20,4	18,7	20,2	20,5	20,7	20,2	20,7	21,1	20,4	20,7	19,7	20,6
Total	69,3	68,1	68,1	68,7	70,7	69,4	69,1	70,3	69,0	70,0	69,4	70,1
N° Séparations	147		148		149		150		151		152	
	a	b	a	b	a	b	a	b	a	b	a	b
Argent	4,3	4,3	4,2	4,2	4,0	4,0	4,0	4,0	4,3	4,2	3,7	3,7
Chlorure zinc	21,4	21,8	21,3	21,3	21,8	21,6	21,5	21,6	21,6	21,7	21,3	21,4
Chlorure potassium	7,3	7,3	7,3	7,4	7,5	7,7	7,6	7,5	7,5	7,4	7,5	7,5
Sulfate zinc	21,9	21,8	21,1	21,7	21,8	21,6	21,8	21,6	21,3	21,4	21,8	21,5
Sulfate potassium	20,5	18,7	20,1	19,2	20,3	19,7	20,1	20,5	19,3	19,4	19,7	19,5
Total	69,3	68,1	68,1	68,7	70,7	69,4	69,1	70,3	69,0	70,0	69,4	70,1

35°-185°

Figure 4

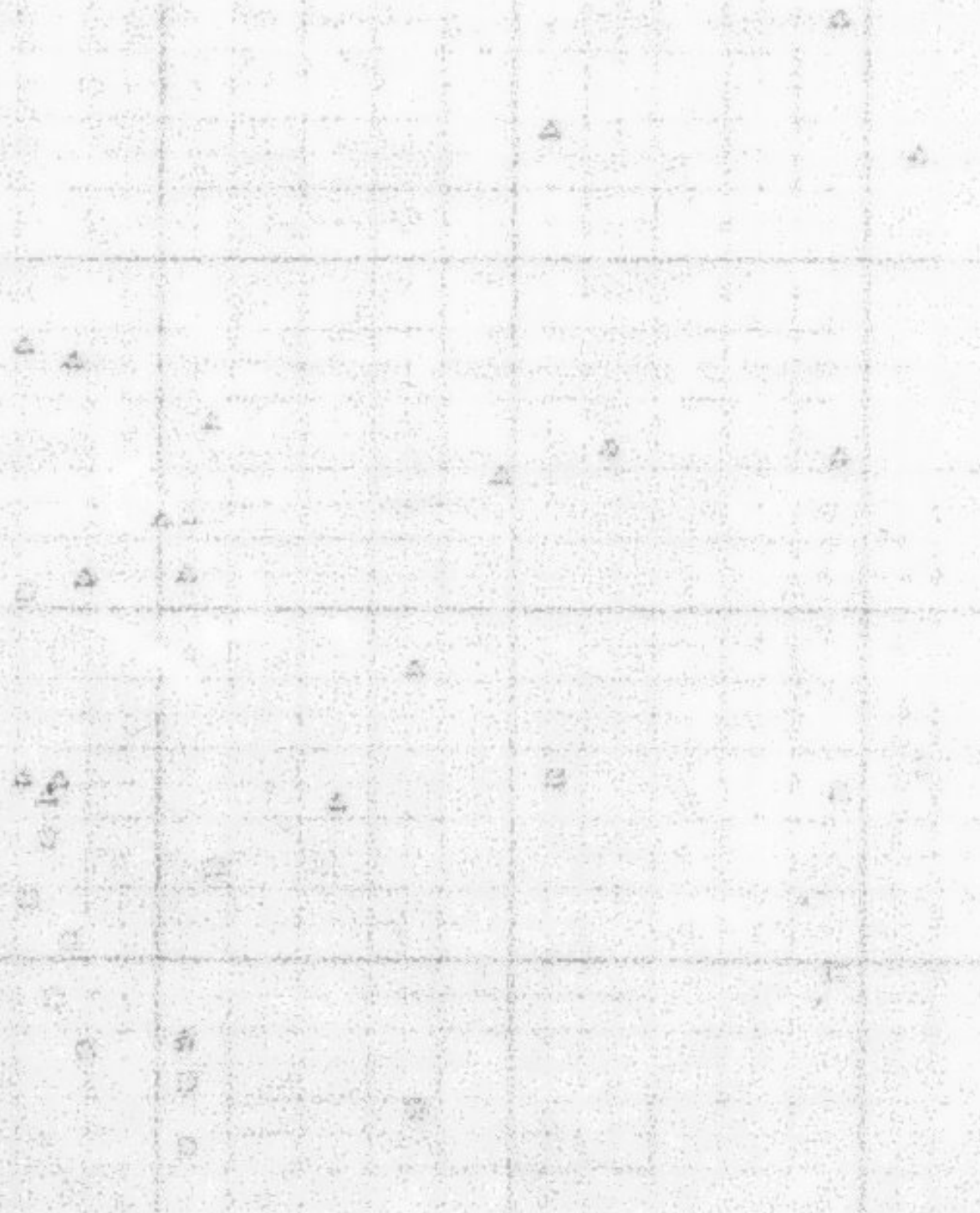
Variation du déficit au reposage en fonction de la
température des gypses.



Composition des débris les plus fins dans l'assiette en céramique.

et leur en fonction de la teneur en silice.

- 1. Fraction fine (< 20 microm)
- 2. Fraction grossière (> 20 microm).



BIBLIOGRAPHIE

- COSTEUX S. 1963 - Méthodes d'analyse utilisables pour les sols salés, calcaires et affines. Agric. Trop. 12, pp 1262-1283
- F.A.O. 1972 - Méthodes d'analyse pédologique et clinique des sols. Bull. n° 30
- GARRET Z.-Z., GELLAY L., BOUSTELLY M. 1970 - Etude des formes hydratées du sulfure de calcium. Bull. Soc. Min. Fr. n° 10 pp 337-3382
- KHABAR P.K. 1974 - The Kophosus pilot irrigation project. Methods of soil analysis. F.A.O. Report.
- MARSET H. 1968 - Mesures d'humidité dans des schématiques de sols gypsoïques. E.R. 63 pp 309-316 Tunis.
- REINER Z. 1977 - Les techniques d'analyse pédologique. Ed. C.N.R.S.
- TELLALIENI J. 1978 - Inventaire critique des sols gypsoïques de Tunisie. Ed. n° 273.
- TELLALIENI J. (à paraître) - Contribution sur les mesures d'humidité dans les sols gypsoïques.

PROTEINAS D'ANALYSE

- 1 - Traiter 10 g. d'échantillon de miel par 40 ml d'une solution à 50 g/l de Cl_2Na , additionnée de triethanolamine, dans un bocal à centrifugation de 50 ou 100 ml.
Agiter une heure à l'agitation nécessaire.
- 2 - Centrifuger à 2000 rpm pendant 10 minutes et jeter le liquide avec soin.
Ajouter 50 ml d'eau distillée et agiter au vibreur pour homogénéiser la suspension ; ce lavage a pour but d'enlever les sucs de miel sous forme flocculée hydrogénée ; poursuivre lavage et centrifugation jusqu'à disparition complète du sucre, contrôlée par l'absence de sucre quand on ajoute une goutte de chlorure de potassium.
- 3 - Ajouter 15 ml d'une solution dispersante contenant 4 % d'hexapeptide synthétique de bovin et 12 g de carbonate de sodium ajusté à pH 5,2 ; agiter au vibreur.
- 4 - Laisser reposer 30 minutes overnight.
- 5 - Laver la pâte de miel à l'eau distillée ; laisser 2 minutes et déverser la suspension sur un tamis de 50 microns avec un jet de pluie.
- 6 - Transvasant la refille au tamis dans une cuve ; déverser et faire écouler au stérile ventilé à 40-50° ; un lavage ultérieur à sec avec un tamis de 200 microns permet de séparer les fractions 1-0,1 et 0,1-0,5 mm.
- 7 - Transvaser le filtrat dans une alliage d'un litre ou dans un bocal de mélangeur ; y ajouter 15 ml de la solution dispersante et agiter 15 à 19 heures à l'agitation nécessaire.
- 8 - Effectuer les prélevements pour les fractions (a + b) et (c) aux pentadécane et aux tamis recommandés par la conséquence de la tenue en gyppe ; sécher à 40 - 50°.
- 9 - Répéter le système des alliages pour élimer les particules de disperzion inférieures à 20 microns. Recueillir le refiltre ; décanter, sécher et peser les fractions correspondant à 0,07-0,05 mm.

Note : Compte tenu du point 5, il est nécessaire de programmer la centrifugation de façon à ne jamais excéder la durée de lavage de 30 minutes.

1234

22

1234